23 июля / вторник

когда	что	где	
08:00-09:00	Завтрак	Столовая, 1 этаж	
09:00-10:20	Линейные ускорители электронов • Никифоров Данила Алексеевич, к.ф-м.н., научный сотрудник, ИЯФ СО РАН, Новосибирск	Зал «Книга», здание столовой, 2 этаж	
10:20-10:30	Перерыв		
10:30–11:50	Накопительные кольца электронов • Баранов Григорий Николаевич, к.фм.н., старший научный сотрудник, ИЯФ СО РАН, Новосибирск	Зал «Книга», здание столовой, 2 этаж	
11:50-12:10	Кофе-брейк	Веранда	
12:10-13:30	Рентгеновское и гамма излучение как инструмент исследования • Зубавичус Ян Витаутасович, д. фм. н., заместитель директора по научной работе ЦКП «СКИФ», Новосибирск	Зал «Книга», здание столовой, 2 этаж	
13:30-14:30	Обед	Столовая, 1 этаж	
14:30-15:50	Физика ароматов (часть 1) • Пахлов Павел Николаевич, член-корреспондент РАН, ведущий научный сотрудник, профессор, НИУ ВШЭ, Москва	Зал «Книга», здание столовой, 2 этаж	
15:50–17:10	Практика 2 • Ратников Федор Дмитриевич, к.фм.н., ведущий научный сотрудник, НИУ ВШЭ, Москва	Аудитории Учебного корпуса Филиала МГУ в Сарове, 2 этаж	
17:10-17:30	Кофе-брейк	Веранда	
17:30-19:00	Доклады/Постеры (часть 1)	Зал «Книга», здание столовой, 2 этаж	
19:00-20:00	Ужин	Столовая, 1 этаж	
20:00-21:30	Культурно-развлекательная программа	Площадка Технопарка «Саров»	





			колы, вторник, 23.07, 17:30-19:00
1.	17:35	Абед Набиль	Исследование поперечной динамики интенсивного
			пучка электронов с энергией до 30 кэВ для
			различных применений
2.	17:42	Бармин Валерий	Определение закономерностей формирования
		Владимирович	наносекундных импульсов фотопроводящим
			полупроводниковым коммутатором (ФППК)
3.	17:49	Батов Андрей	Разработка двухсекционного линейного
		Алексеевич	ускорителя электронов S-диапазона для
			прикладных применений
4.	17:56	Бобылев Дмитрий	Динамика пучка в «малом» накопительном кольце
		Алексеевич	НЦФМ
5.	18:03	Быков Сергей	Стендовый: Разработка и оптимизация быстрых
		Андреевич	сканирующих магнитов для получения заданного
		тидрови т	поля облучения выведенным пучком ионов:
6.	18:10	Владимиров Михаил	Стендовый: Транспорт электронов в фотокатодах
0.	10.10	Владиславович	как отклик на индуцирующий фотоэффект
		Бладиславович	
7	10.17	D M	лазерный импульс
7.	18:17	Власов Максим	Рождение пар заряженных лептонов на
0	10.04	Андреевич	перспективных коллайдерах.
8.	18:24	Волков Михаил	Обработка изображений оптического переходного
		Игоревич	излучения и излучения Вавилова-Черенкова,
			полученных с ПЗС-матрицы
9.	18:31	Зотов Антон	Исследование матричных фотоприемников для
		Александрович	системы регистрации жестких гамма-квантов
10.	18:38	Зубанков Александр	Измерение выходов нейтронов вперед с помощью
		Александрович	прототипа высоко-гранулярного времяпролетного
			нейтронного детектора HGND от
			электромагнитной диссоциации и ядерной реакции
			в столкновениях Xe + CsI@3,8 АГэВ в
			эксперименте BM@N
11.	18:45	Казаркин Дмитрий	МЕХАНИЗМ КАЧЕЛЕЙ И ТЕМНАЯ МАТЕРИЯ
		Михайлович	В ЛЕВО-ПРАВО СИММЕТРИЧНОЙ МОДЕЛИ
12.	18:52	Колокольчиков Сергей	Исследование спин-орбитальной динамики для
		Дмитриевич	исследования ЭДМ
	Į	Т оклады участников п	иколы, среда, 24.07, 18:30-20:00
13.		Королев Петр	Возбуждение мультипольных переходов в
		Сергеевич	кварконии жестким закрученным излучением
14.	18:42	Николайчук Илья	Струнные Методики Измерений Магнитных Поле
		Юрьевич	Элементов Кольцевых Ускорителей
15.	18:49	Савченко Елена	Массы трижды тяжёлых тетракварков в
101	10,	Михайловна	Релятивистской Кварковой Модели
16	18:56	Сингатулина Наталия	Стендовый: Компактный ускорительный
10.	10.50	Шавкатовна	источник быстрых нейтронов для радиационного
		IIIabka10biia	тестирования перспективных материалов
17.	19:03	Суханов Иван	Полулептонные распады очарованных мезонов в
1/.	19.03	1 -	
1.0	10.10	Сергеевич	возбужденные состояния легких мезонов.
18.	19:10	Федоров Вячеслав	Оптимизация и восстановление огибающей пучка
1.0	10.17	Васильевич	помощью генетического алгоритма
19.	19:17	Фролова Елена	ВЫХОДНЫЕ ХАРАКТЕРИСТИКИ
			ИСТОЧНИКА ГАММА-ИЗЛУЧЕНИЯ НА

			ОСНОВЕ ОБРАТНОГО КОМПТОНОВСКОГО РАССЕЯНИЯ	
20.	19:24	Фурсова Надежда Юрьевна	Наработка медицинских изотопов на ускорителях электронов	
21.	19:31	Худова Анна Сергеевна	Исследование дважды тяжелых барионов в приближении Борна-Оппенгеймера	
22.	19:38	Чуйкина (Саров)	Обзор низкотемпературных детекторов рентгеновского и гамма-излучения сверхвысокого разрешения	
23.	19:45	Шнырков Олег Дмитриевич	Исследование фрактальной структуры лиственных и хвойных деревьев с помощью моделирования экспериментов по малоугловому рассеянию нейтронов	

МЕХАНИЗМ КАЧЕЛЕЙ И ТЕМНАЯ МАТЕРИЯ В ЛЕВО-ПРАВО СИММЕТРИЧНОЙ МОДЕЛИ

<u>Д. М. Казаркин</u>^{1,2}, М. Н. Дубинин¹, Е. Ю. Федотова¹ kazarkin@theory.sinp.msu.ru

¹ Научно-исследовательский институт ядерной физики им. Д. В. Скобельцына Московского государственного университета им. М. В. Ломоносова, Москва

² Физический факультет Московского государственного университета им. М. В. Ломоносова, Москва

Наблюдение нейтринных осцилляций указывает на ненулевые массы нейтрино, что является убедительным доказательством новой физики за пределами Стандартной модели (СМ). Согласно СМ левокиральные и правокиральные фермионы представлены в дублетах и синглетах соответственно, что приводит к нарушению четности. Естественным обобщением на масштабе высоких энергий, теоретически мотивированным идеей Великого объединения вза-имодействий, является лево-правая симметрия (LR-симметрия), в которой лево- и правокиральные фермионы равноправны, а наблюдаемое нарушение четности при низких энергиях объясняется спонтанным нарушением LR-симметрии, [1]. Кроме того, такие модели обладают набором привлекательных следствий:

- 1. предоставляют источники нарушения четности, что может объяснить наблюдаемую барионную асимметрию Вселенной,
- 2. реализуют механизм «качелей» (seesaw), объясняющий наличие малых масс у нейтрино и явление нейтринных осцилляций,
- 3. предсказывают наличие новых тяжелых частиц-кандидатов для описания темной материи (ТМ), стабильность которых обеспечивается нечетностью относительно дискретных симметрий модели, см. [2].

В нашей работе мы сконцентрировали внимание на т.н. минимальной лево-правой симметричной модели (Minimal Left-Right-Symmetric Model, MLRSM) с калибровочной группой $SU(3)_c \times SU(2)_R \times SU(2)_L \times U(1)_{B-L}$, которая нарушается до $SU(3)_c \times U(1)_{em}$ благодаря нетривиальной структуре вакуумных средних расширенного хиггсовского сектора, [3]. В рамках рассматриваемой модели исследуются допустимые наборы параметров расширенного хиггсовского потенциала с «настройкой» на наблюдаемый бозон Хиггса с массой 125 ГэВ и учетом имеющихся экспериментальных ограничений на массу дополнительных нестандартных хиггсовских бозонов и новых массивных векторных бозонов W_R^{\pm} и Z_R . Для выявленных параметрических сценариев осуществляются численные вычисления реликтовой плотности частиц ТМ, приводятся контуры на плоскости свободных параметров, при которых реализуется наблюдаемое значение относительной плотности ТМ на уровне 25%.

Литература

- 1. G. Senjanovic and R. N. Mohapatra, "Exact Left-Right Symmetry and Spontaneous Violation of Parity", Phys. Rev. D, vol. 12, p. 1502, 1975.
- 2. P. S. Bhupal Dev, R. N. Mohapatra and Y. Zhang, "Naturally stable right-handed neutrino dark matter", JHEP, vol. 11, p. 077, 2016.
- 3. K. Kiers, M. Assis and A. A. Petrov, "Higgs sector of the left-right model with explicit CP violation", Phys. Rev. D, vol. 71, p. 115015, 2005.

«МЕХАНИЗМ КАЧЕЛЕЙ И ТЕМНАЯ МАТЕРИЯ В ЛЕВО-ПРАВО СИММЕТРИЧНОЙ МОДЕЛИ»

Казаркин Д.М. 1,2 , М.Н. Дубинин 2 , Е.Ю. Федотова 2

МГУ им. М.В. Ломоносова, Москва
 НИИЯФ им. Д.В. Скобельцына МГУ. Москва

Выполнен по программе Национального центра по физике и математике в рамках проекта «Физика частиц и космология»

2024

Почему необходимо расширять СМ?

• Наличие темной материи \to может быть представлена новыми элементарными частицами за рамками СМ.

$$\Omega_{DM,0} h^2 = 0.120 \pm 0.001$$
 [Planck 2018 results]

• Преобладание вещества над антивеществом (Барионная ассиметрия Вселенной) \to 3 условия Сахарова (В-нарушение, С и СР-нарушение, отклонение от теплового равновесия)

$$Y_{B,0} = \frac{n_B - n_{\bar{B}}}{s} \sim 10^{-10} - 10^{-11}$$

• Наблюдение нейтринных осцилляций \to в CM нет теоретического механизма генерации малых масс нейтрино

$$m_
u \lesssim 0.2 \; \mathrm{eV}$$

Лево-правая симметрия и ее нарушение

Калибровочная группа LR-модели:

$$G_{LR} = SU(3)_c \times SU(2)_R \times SU(2)_L \times U(1)_{B-L} \times \mathcal{P}$$
, где \mathcal{P} -дискретная симмметрия между $L \longleftrightarrow R$.

Этапы спонтанного нарушения симметрии:

- Нарушение \mathcal{P} -симметрии на масштабе $M_{\mathcal{P}} \sim M_{GUT} \sim 10^{15}$ GeV за счет приобретения вакуумного среднего (VEV) у хиггсовского синглетного поля $\eta=(1,1,1,0)$
- ullet Нарушение $SU(2)_R imes U(1)_{B-L} \xrightarrow{\langle \Delta_R \rangle} U(1)_Y imes \mathbb{Z}_2$ хиггсовским правым триплетом $\Delta_R = (1,3,1,2)$
- ③ Электрослабое нарушение на масштабе $M_{W,Z}$ за счет би-дублета Хиггса $\Phi = (1,2,2,0)$ и левого триплета $\Delta_L = (1,1,3,2)$: $SU(2)_L \times U(1)_Y \xrightarrow{\langle \Phi \rangle, \langle \Delta_L \rangle} U(1)_{em}$

$$\langle \Phi \rangle = \frac{1}{\sqrt{2}} \begin{pmatrix} k_1 & 0 \\ 0 & k_2 \end{pmatrix}, \quad \sqrt{k_1^2 + k_2^2} = 246 \text{ GeV}$$

Хиггсовский сектор

Теория содержит 14 бозонов Хиггса.

- 4 нейтральных скаляра, H_0^0 (ассоциируемый с наблюдаемым бозоном Хиггса H, $M_h=125$ GeV), H_1^0 , H_2^0 , H_3^0 ,
- ullet 2 нейтральных псевдоскаляра A_1^0 , A_2^0 ,
- 4 заряженных бозона H_1^{\pm} , H_2^{\pm} ,
- ullet 4 дважды заряженных бозона $H_L^{\pm\pm}$, $H_R^{\pm\pm}$.

"VEV seesaw relation"

$$v_L = \gamma \, rac{k_1^2 + k_2^2}{v_R}, \qquad$$
 где $\gamma \equiv rac{eta_2 \, k_1^2 + eta_1 \, k_1 \, k_2 + eta_3 \, k_2^2}{(2
ho_1 -
ho_3) (k_1^2 + k_2^2)}$,

Параметрический сценарий

$lpha_{3}$	ρ_1	ρ_2	ρ_3	λ_1	λ_2	λ_3
0.01	0.1	0.3	0.9	$\lambda_{SM}=0.118$	0.01	0.1

Таблица: Выбор констант самодействия для потенциала

Массы хиггсовских бозонов

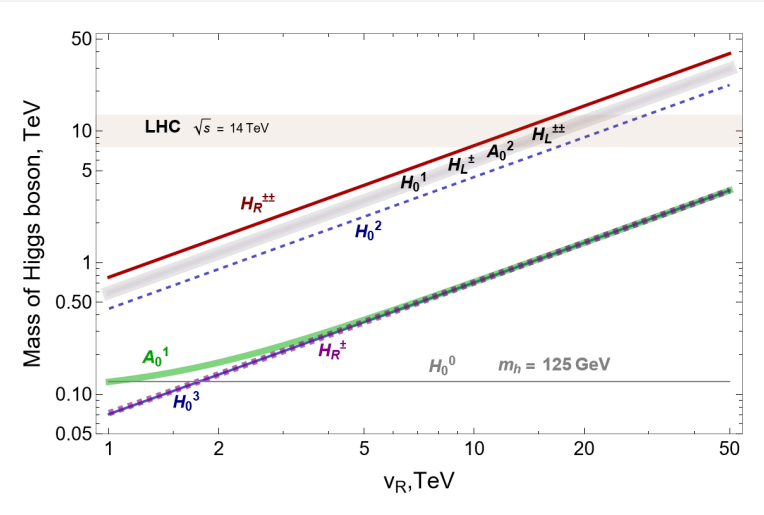


Рис.: Массы бозонов хиггса в LRSM (массы H_3^0 , A_2^0 , H_1^\pm , $H_1^{\pm\pm}$ на рисунке совпадают)

Массы новых калибровочных бозонов

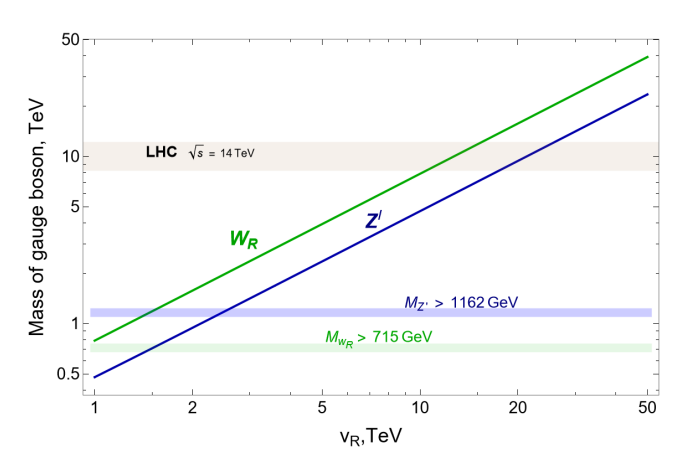


Рис.: Масса Z_R - синяя наклонная линия и масса W_R - красная сплошная наклонная линия. Горизонтальные линии - экспериментальные границы. Получено в приближении $v_R\gg k_1,k_2$

Связь с теорией Великого объединения

Теория великого объединения, основанная на модели SO(10) предсказывает LR-симметрию, т.к. $G_{LR}\subset SO(10)$. Это позволяет рассматривать фермионные триплеты,

$$\underbrace{\left(1_c,3_L,1_R,0_{(B-L)}\right)}_{\equiv\psi_1} \oplus \underbrace{\left(1_c,1_L,3_R,0_{(B-L)}\right)}_{\equiv\psi_2} \subset \textbf{45}_F,$$

которые содержат кандидатов в холодную ТМ - майорановские фермионы $\chi^0_{1,2}=\psi^0_X+(\psi^0_X)^c$, а $\chi^\pm_{1,2}=\psi^\pm_X-(\psi^\mp_X)^c$ - дираковские заряженные фермионные пары.

$$\mathcal{L}_{\text{int}} = -g_R \left(\overline{\chi_i^+} W_R^+ \chi_i^0 + h.c. \right) - e \overline{\chi_i^+} A \chi_i^+$$

$$-g_R \cos \phi_0 \ \overline{\chi_i^+} Z_R \chi_i^+ + e \tan \theta_W \overline{\chi_i^+} Z_{\chi_i^+}^+,$$

Стерильные нейтрино

Модель содержит тяжелые нейтральные лептоны (HNL или стерильные нейтрино) $N_{1,2,3}$, массы \leftrightarrow seesaw-механизм (seesaw II). Массовая матрица 6×6 нейтрино имеет вид

$$\mathcal{M} = \begin{pmatrix} fv_L & Yk_+ \\ Y^T k_+ & fv_R \end{pmatrix} \qquad f_L = f_R = f, \quad Y = Y^T \quad (L \leftrightarrow R)$$
 $M_N \sim fv_R \qquad m_\nu \sim fv_L + \frac{k_+^2}{v_R} Y f Y^T$

Смешивание $|\theta_{mix}|^2 \sim (k_+/v_R)^2 \ll 1$ самое легкое стерильное нейтрино может выступать в роли частицы темной материи, [?]. Для квазистабильности $(\tau_N > H_0^{-1} \sim 10^{17} \; {\rm ceкунд})$ масса $M_{N_{dm}} \sim \mathcal{O}(\kappa {\rm ps})$.

Недостатком такой модели является недоступные к наблюдениям хиггсовские и калибровочные бозоны из-за слишком большого $v_R \sim 10^4~{
m T}$ ЭВ.

Темная материя в LRSM

B LRSM нет однозначных кандидатов на роль темной материи. Мы выделяем возможности

- ТэВ-ной холодной ТМ $(\Omega_{L,R})$, представленной компонентами χ^0_1 и χ^0_2 фермионных триплетов. Каждая из двух компонент стабилизирована дискретной симметрией $U(1)_{B-L} \to \mathbb{Z}_2$, $\mathcal{Z} = (-1)^{3(B-L)}$;
- кэВ-ной теплой ТМ (Ω_{warm}), представленной самым легким из стерильных нейтрино N_1 . Квазистабильна на космологических масштабах времени из-за $|\theta_{mix}|^2 \ll 1$. Требует тяжелых W_R, Z_R бозонов.
- трехкомпонентной темной материи: случай 1 + случай 2 [in progress]

Реликтовая плотность ТМ

$$\Omega_{DM} = \underbrace{\Omega_L + \Omega_R}_{ ext{MicrOMEGAs num. calc.}} + \Omega_{warm}, \quad \Omega_{warm} \sim |\theta|_{mix}^2 M_{N_1}$$

Имеющиеся результаты для ТэВ-ной ТМ в LRSM

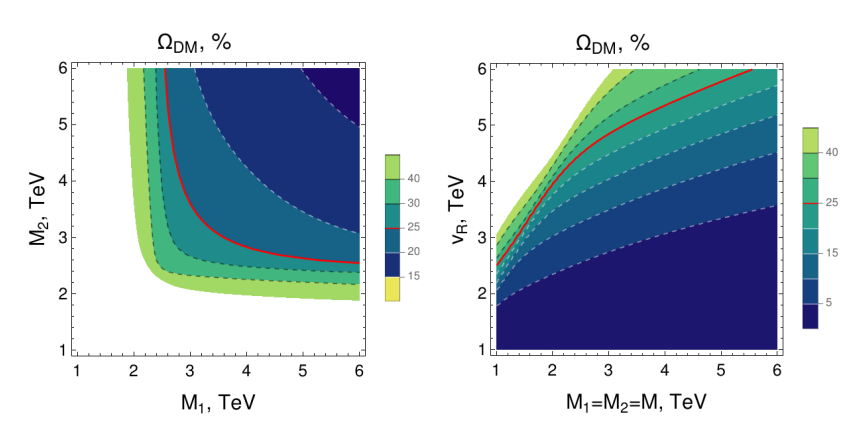


Рис.: Реликтовая плотность темной материи χ_0^1 и χ_0^2 на плоскости параметров M_1-M_2 (слева) и на плоскости $M-v_R$, где $M=M_1=M_2$ (справа). Здесь мы предполагаем, что все N_i достаточно тяжелые и не дают вклада в Ω_{DM} .

Заключение и результаты

- Детально рассмотрена модель с LR-симметрией, выделен спектр новых гипотетических частиц (скалярные и векторные бозоны), построен параметрический сценарий с позитивной феноменологией для коллайдерных экспериментов.
- Модель приводит к генерации майорановских масс у стерильных и активных нейтрино (механизм seesaw II)
- В рамках LRSM рассмотрены возможные кандидаты на роль темной материи: кэВ-ное стерильное нейтрино с малыми углами смешивания, тяжелые майорановские фермионы, компоненты левого и правого фермионного триплета, стабилизированные за счет остаточной дискретной \mathbb{Z}_2 симметрии после нарушения $U(1)_{B-L}$.

Спасибо за внимание